

## Implementarea unui dispozitiv de înmulțire a două numere întregi fără semn de 8 biți

Asist.univ.drd. ing. Mihai Timiș  
Universitatea Tehnică "Gh.Asachi" Iași

**ABSTRACT.** In this paper I propose to implement a multiplication device with unsigned two 8 bit integer numbers using synchronous sequential automata. This device could be done classic using only basculant bistables circuits (CBB D, T, R-S, J-K) or using printed sequentiator (PS) and Automata Execution Elements (AEE). The second option was choice because implementation is more simply and clearly. This paper is more didactic and it is successfully used on Digital Sistem lab.

### 1 Organigrama algoritm

În cele ce urmează este folosit un algoritm de multiplicare a două numere prin adunări repetate.

S-a dorit implementarea sistemului folosind numai registre numărătoare 74193 și porți logice aferente.

Fie  $X=X_7X_6X_5X_4X_3X_2X_1X_0B$  și  $Y=Y_7Y_6Y_5Y_4Y_3Y_2Y_1Y_0B$ , deînmulțitul și înmulțitorul.

Vom utiliza următorul algoritm:

**STEP1: P:=0;**

**STEP2: U:=Y;**

**STEP3: DECU,INCP;**

**STEP4: Dacă U diferit de zero, se revine la STEP3;**

**STEP5: DECX;**

**STEP6: Dacă X diferit de zero, se revine la STEP2;**

**STEP7: STOP.**

## 2 Interfața hardware

Automatul complex este realizat din două subsisteme care conlucrează împreună:

- Elemente de Execuție a Automatului (EEA)
- Secvențiatorul cablat (SC)

Elementele de Execuție ale Automatului sunt registre numărătoare 74193 care vor compune și stoca rezultatul înmulțirii, fig.1.1, fig.1.2.

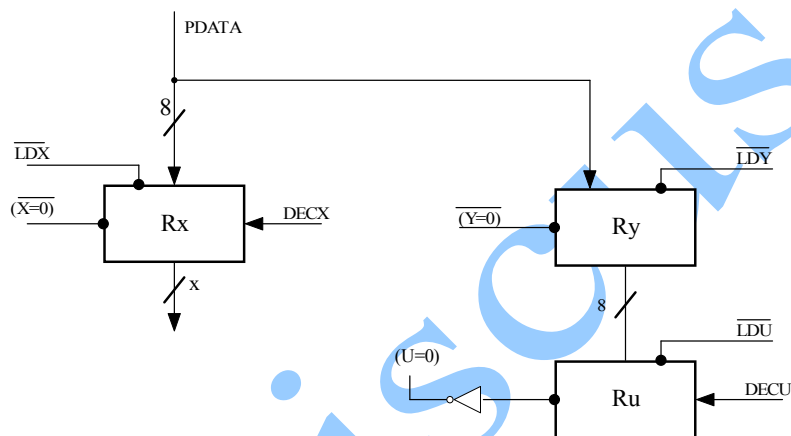


Fig. 1.1

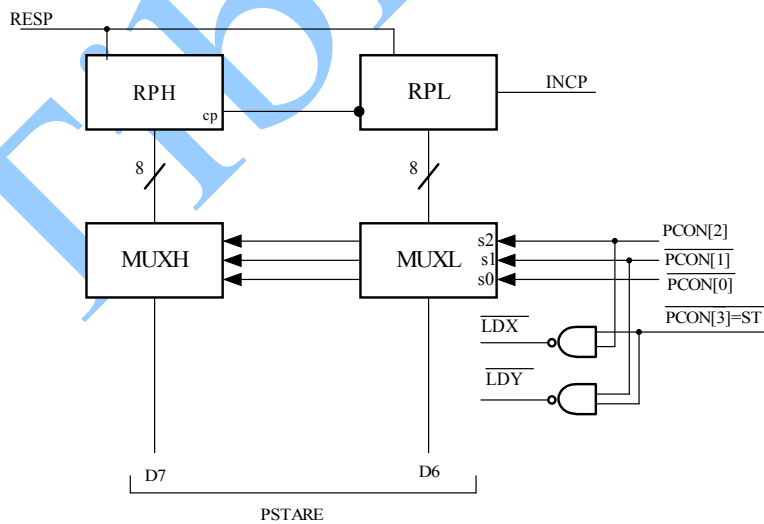


Fig. 1.2

După cum reiese din fig. 1.1, 1.2, registrele  $R_x$ ,  $R_y$  sunt utilizate la încărcările operanzilor  $x, y$ , iar  $R_u$  – pentru memorarea temporală a operandului ( $y$ ). Registrul RP, format din concatenarea a două registre notate cu RPH (memorează partea *High* a produsului) și RPL (memorează partea *Low* a aceluiasi produs).

Prin două multiplexoare notate MUXH, MUXL- sunt prelucrate bit cu bit părțile *High*, respectiv *Low*.

Bitul trei, (3) din portul de control reprezintă semnalul *Start*, (ST), iar  $PCON_2, PCON_1, PCON_0$  – semnalele de selecție a biților  $i, i+8$ , din produs. Pentru *RDY*, nu vom considera hard suplimentar. Astfel,  $RDY=1$ , dacă  $x=0$  sau  $y=0$ .

$$\text{Deci } RDY=(x=0)+(y=0)=\overline{(x=0)} * \overline{(y=0)} \quad (2)$$

### 3 Organigrama funcțională

Descrierea funcționării automatului este realizată prin organigrama funcțională, construită pe baza algoritmului propus, (fig.3.1).

Deci atât timp cât  $ST=0$ , ( $\overline{ST}=1$ ), automatul rămâne în starea zero (0).

După încărcarea operanzilor ( $x, y$ ), prin programul final de multiplexare, se activează ST ( $\overline{ST}=0$ ), deci automatul va trece în starea (1), în care se generează semnalul RESP, ce are ca efect anularea produsului parțial.

În starea (2) se testează dacă cel puțin unul din operanzi este nul. În cazul când  $[(x=0)+(y=0)]=0$ , deci ambii operanzi sunt diferiți de zero se trece în starea (3), în care se realizează  $u:=y$ .

În starea (4), se decrementează ( $u$ ) și se incrementează ( $p$ ), operație ce continuă până ce ( $u$ ) devine null, când se trece în starea (6).

Se decrementează ( $x$ ) și se reia algoritmul cu secvența (2) până când  $(x=0)=1$ , (se anulează  $x$ ).

În final se trece în starea (7), automatul revenind în starea (0), doar după dezactivarea semnalului ST ( $\overline{ST}=1$ ).

Partea de comandă se realizează sub forma unui secvențiator cablat, fig. 3.2 și 3.3.

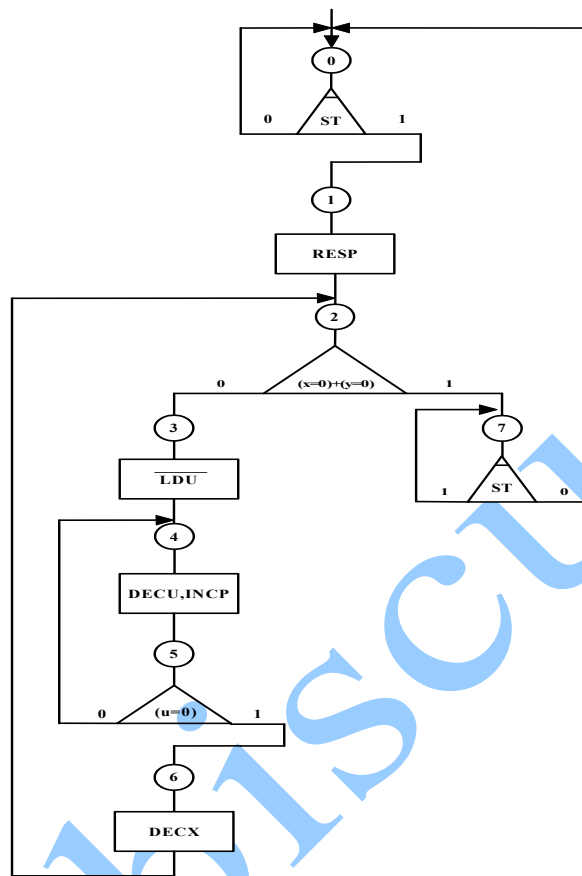


Fig. 3.1

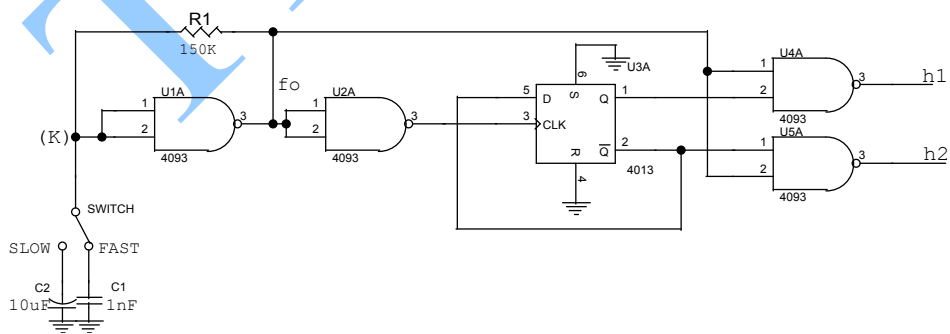


Fig. 3.2.

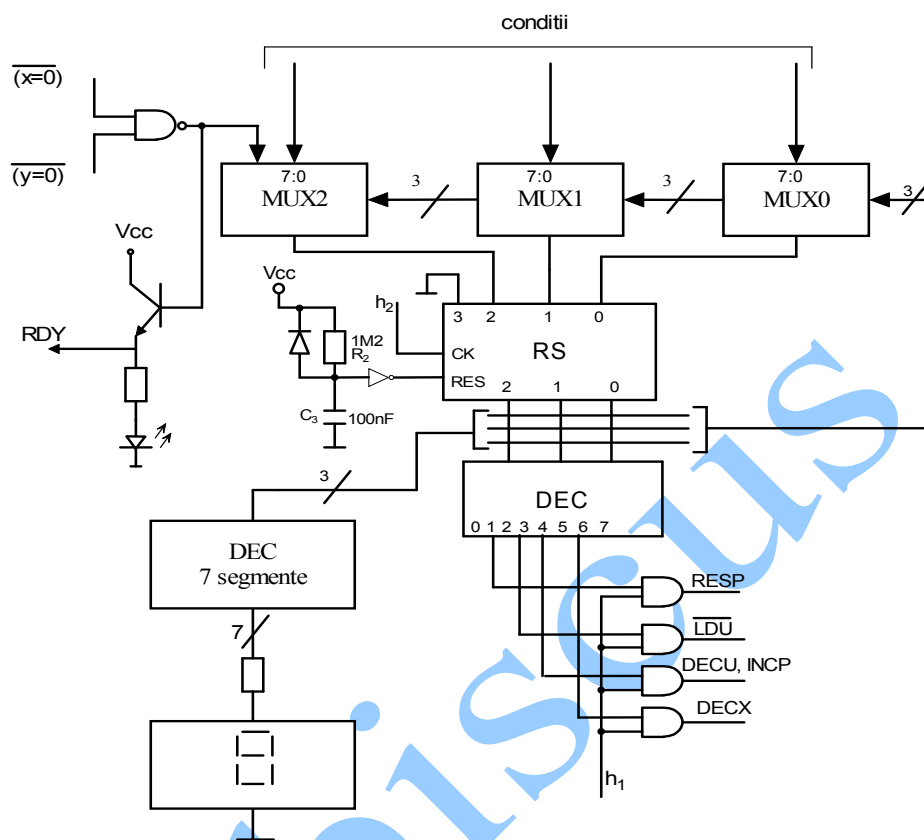


Fig.3.3

#### 4 Calcul valori rezistențe, capacități

##### Resetare – calcul $C_3, R_2$ .

Impunem  $t_{ns} \geq 0.1 \text{ sec.}$

Notând cu  $V_P, V_N$  pragurile triggerului Schmitt inversor, rezultă:

$$t_{res} = C_3 R_2 \ln \frac{V_{cc}}{V_{cc} - V_P}, \text{ cu } V_P \cong 2.9V \text{ și } C_3 = 100nF \quad V_N \cong 1.9V$$

rezultă:

$$10^{-7} * R_2 \ln \frac{5}{5 - 2.9} \geq 0.1 \text{ sec.}$$

sau

$$R_2 \geq \frac{10^{-1}}{0.868 * 10^{-7}} = 1.15M \quad (1)$$

Se alege  $R_2=1M\Omega$ .

### Oscilator

Prin (K) se stabilește funcția High (numai  $C_1$ ) sau Low ( $C=C_1+C_2 \cong C_2$ , cu  $C_2 \gg C_1$ ).

Se folosește relația de calcul a perioadei semnalului ( $f_0$ ):

$$T_0=2R_1C \ln \left[ \left( \frac{V_P}{V_N} \right) \left( \frac{V_{cc} - V_N}{V_{cc} - V_P} \right) \right] \quad (2)$$

Pentru  $f_0 \geq 2.5kHz$  rezultă  $C=1nF$ ,  $R_1 \geq 140K$ .

Se alege  $R_1=150K$

Pentru  $C_1=10\mu F$ , rezultă  $T_0 \cong 4sec$ , ceea ce permite o vizualizare directă a procesării.

Relațiile ce definesc semnalele de comandă sunt ilustrate mai jos:

$$\begin{aligned} \overline{RESP} &= s_1 * h_1 \\ \overline{LDU} &= s_3 * h_1 \\ \overline{DECU} &= \overline{INCP} = s_4 * h_1 \\ \overline{DECX} &= s_6 * h_1 \end{aligned} \quad (3)$$

Multiplexoarele  $MUX_i$ , cu  $i=0,1,2$  sunt de tipul MMC4051.

Conform organigramei funcționale, se construiește tabelul de tranziție, ca în fig.4.1.

cond. st. curentă	ST	(u=0)	(x=0)+(y=0)	secv. urm.	cod secv. urm.	cod generic
s <sub>0</sub>	0	-	-	s <sub>0</sub>	000	00ST
	1	-	-	s <sub>1</sub>	001	
s <sub>1</sub>	-	-	-	s <sub>2</sub>	010	010
s <sub>2</sub>	-	-	0	s <sub>3</sub>	011	RDY11
	-	-	1	s <sub>7</sub>	111	
s <sub>3</sub>	-	-	-	s <sub>4</sub>	100	100
s <sub>4</sub>	-	-	-	s <sub>5</sub>	101	101
s <sub>5</sub>	-	0	-	s <sub>4</sub>	100	1(u=0)0
	-	1	-	s <sub>6</sub>	110	
s <sub>6</sub>	-	-	-	s <sub>2</sub>	010	010
s <sub>7</sub>	0	-	-	s <sub>0</sub>	000	STSTST
	1	-	-	s <sub>7</sub>	111	

Fig.4.1

Vom scrie ieșirea multiplexorului (i), de fapt  $y_{i,n+1}$ :

$$y_{i,n+1} = (\overline{y_2} \overline{y_1} \overline{y_0}) I_{0,i} + (\overline{y_2} \overline{y_1} y_0) I_{1,i} + \dots + (y_2 y_1 y_0) I_{7,i} \quad (4)$$

$$y_{i,n+1} = s_0 I_{0,i} + s_1 I_{1,i} + \dots + s_7 I_{7,i} = \sum_{k=0}^7 s_k I_{k,i} \text{ cu } i = 0,1,2 \quad (5)$$

Relația (4) se mai poate scrie:

$$Y = I * S, \text{ cu } y = \begin{bmatrix} y_{2,n+1} \\ y_{1,n+1} \\ y_{0,n+1} \end{bmatrix} \quad (6)$$

$$I = \begin{bmatrix} I_{0,2} & I_{1,2} & \dots & I_{7,2} \\ I_{0,1} & I_{1,1} & \dots & I_{7,1} \\ I_{0,0} & I_{1,0} & \dots & I_{7,0} \end{bmatrix} \quad S = \begin{bmatrix} s_0 \\ s_1 \\ \cdot \\ \cdot \\ s_7 \end{bmatrix} \quad (7)$$

Din (7) și tabelul de tranziție, rezultă:

$$I = \begin{bmatrix} I_{0,2} & I_{1,2} & I_{2,2} & I_{3,2} & I_{4,2} & I_{5,2} & I_{6,2} & I_{7,2} \\ I_{0,1} & I_{1,1} & I_{2,1} & I_{3,1} & I_{4,1} & I_{5,1} & I_{6,1} & I_{7,1} \\ I_{0,0} & I_{1,0} & I_{2,0} & I_{3,0} & I_{4,0} & I_{5,0} & I_{6,0} & I_{7,0} \end{bmatrix} = \begin{bmatrix} 0 & 0 & RDY & 1 & 1 & 1 & 0 & ST \\ 0 & 1 & 1 & 0 & 0 & (u=0) & 1 & ST \\ ST & 0 & 1 & 0 & 1 & 0 & 0 & ST \end{bmatrix}$$

de unde rezultă:

$$\begin{aligned} I_{0,2} = I_{1,2} = I_{6,2} = 0; \quad I_{2,2} = RDY; \quad I_{3,2} = I_{4,2} = I_{5,2} = 1; \quad I_{7,2} = ST \\ I_{0,1} = I_{3,1} = I_{4,1} = 0; \quad I_{1,1} = I_{2,1} = I_{6,1} = 1; \quad I_{5,1} = (u=0); \quad I_{7,1} = ST \\ I_{0,0} = I_{7,0} = ST; \quad I_{1,0} = I_{3,0} = I_{5,0} = I_{6,0} = 0; \quad I_{2,0} = I_{4,0} = 1 \end{aligned}$$

## 5 Interfața software

Semnificația portului (fig.5.1):

- prin  $P_k$  se înțelege bitul de rang k din produs,  $0 \leq k \leq 15$ .
- Ordinea de conectare a automatului :
  1. se comută  $V_{cc} = ON$ ;
  2. se conectează portul paralel;
  3. se intră în program;

4. se introduc operanzii;
5. se așteaptă rezultatul.

Denumire Port	Adresa		D <sub>7</sub>	D <sub>6</sub>	D <sub>5</sub>	D <sub>4</sub>	D <sub>3</sub>	D <sub>2</sub>	D <sub>1</sub>	D <sub>0</sub>
	PC	PS/1								
PDATA	0X378	0X3bc	x	x	x	x	x	x	x	x
			operanzi							
PCON	0x37a	0x3be	x	x	x	x	0	LDX	$\overline{LDY}$	x
			$\overline{s_0}$	x	x	x	1	s <sub>2</sub>	$\overline{s_1}$	
			START+selecție							
PSTARE	0X379	0X3bd	$\overline{p_{i+8}}$	$\overline{p_i}$	1	x	x	x	x	x
			RDY=1							
			din pstare							
			x	x	0	x	x	x	x	x
			RDY=0							

Fig. 5.1

Deconectarea se face invers:

1. deconectare port paralel;
2. sursa V<sub>cc</sub>=OFF;

În figura 5.2. este descrisă organigrama după care este realizat programul.

Pentru citire se va utiliza  $s = \overline{s_2 s_1 s_0}$ , ultimii 3 biți din portul de control, dacă ST=1 (bitul 3). Se începe cu citirea biților 15,8 din produs, ceea ce corespunde la s=100 (selecția canalului 7 din cele 2 multiplexoare ce formează biții produs).

Produsul se formează conform algoritmului:

1. s=100, P<sub>H</sub>=0, P<sub>L</sub>=0 (partea High, respectiv Low a produsului)
2.  $P_H := (\overline{PSTARE[7]} + P_H) * 2$   
 $P_L := (\overline{PSTARE[6]} + P_L) * 2$
3. s: =s+1;
4. Dacă s ≠ 100, atunci goto(2)
5. P: =P<sub>H</sub>\*2<sup>7</sup>+P<sub>L</sub>/2;



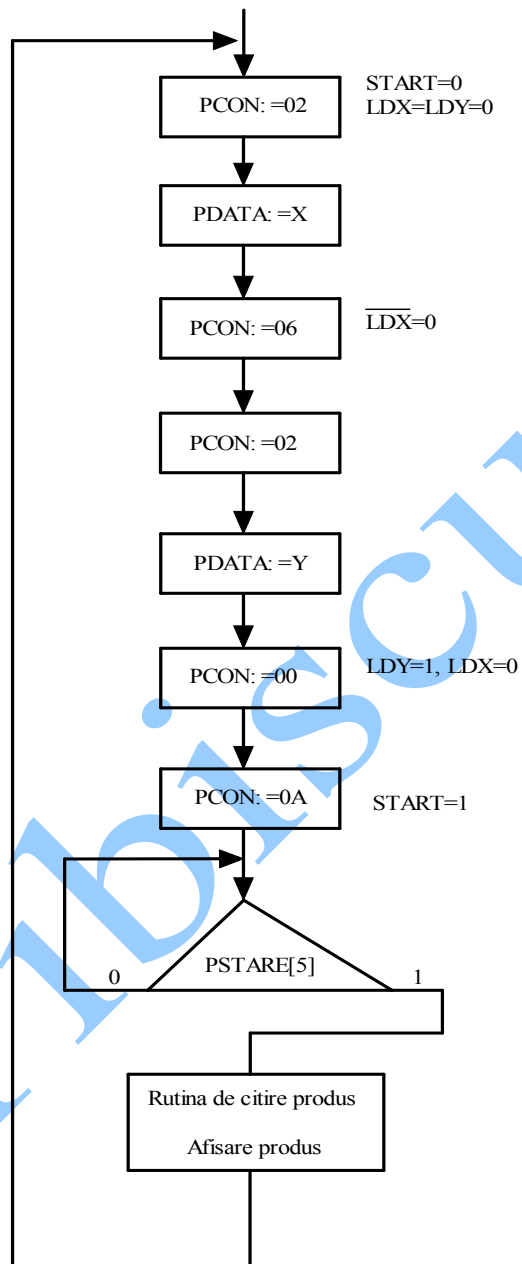


Fig. 5.2.

## 6 Concluzii

- Această metodă de analiză a sistemelor secvențiale sincrone cu mai multe stări se dovedește a fi mult mai eficientă.
- Modul de design a automatului permite interfațarea acestuia cu un PC prin intermediul portului paralel standard.
- Automatul poate fi programat folosind limbajul C sau oricare limbaj de nivel înalt.
- Lucrarea a fost concepută în scop didactic, pentru a arăta studenților modalitatea de sinteză folosind automatele complexe.

## Bibliografie

- [Cla93] **C. R. Clare** – “*Designing Logic Systems Using State Machine*”, 1993
- [VB86] **Al. Valachi, M. Birsan** – *Tehnici numerice si automate (Numerical techniques and automata)*, Junimea-Iași, 1986
- [VH93] **Al. Valachi, Fl. Hoza** – *Analiza și sinteza dispozitivelor numerice* – Nord-Est Iași, 1993
- [VM00] **Al. Valachi, C. Monor** - “*Proiectarea Sistemelor Secvențiale Asincrone*” - Tempus Incot, 2000
- [\*\*\*95] **\*\*\***, „*Principles of Fundamental Logic Design*“ - New York 1995